

曲線桁橋腹板の有限変位挙動とその設計法に関する考察

大阪市大工学部 正員 中井 博
 大阪市大工学部 正員 北田 俊行
 (株)川崎重工技研 正員○大角 魁一

1. まえがき アーチ・ガーダーのような薄肉構造物においては、その限界状態として使用限界と終局限界が考えられる。曲線桁橋の場合には、その終局限界は直線桁と同様に全塑性モーメントにより、ほぼ評価できることが明らかになった。¹⁾ しかし、腹板の座屈現象は、曲率を有することから、座屈問題よりむしろ変形問題となり、その使用限界を座屈荷重で表わすことが困難である。そこで、本研究では腹板の面外たわみが腹板高さの $1/250$ になる荷重を使用限界とし、その基準にもとづいた設計法を検討したので、ここに報告する。

2. 解析プログラムと腹板モデル 本研究では、まず、曲率を有する腹板の複雑な境界条件をできるだけ正確に考慮できるように、有限要素法による解析プログラムを開発した。その特徴は、①図1に示すような8節点のアイソ・パラメトリック・シェル要素を用いた。

② Updated Lagrangian 法による有限変位理論を適用した。③非線形の数値解析は、増分法と初期応力法の混合法を用いた。などである。プログラムの解析精度を示す一例として、COAN²⁾が理論解析に用いた板モデルの解析を行い、その結果を図2に示す。同図より両者がよく一致していることがわかる。

曲率を有する腹板のパラメーター解析に用いたモデルを図3に示す。腹板は円筒シェルとし、垂直補剛材と上下フランジに囲まれた腹板パネルの $1/2$ を解析の対象とした。解析の条件は次の通りである。

① 垂直補剛材辺 \overline{AB} , \overline{CD}

及びフランジ辺 \overline{AC} , \overline{BD}
を単純支持とし、② 載荷辺

\overline{AB} , \overline{CD} は平面保持の仮定
より直線を保つものとし、断面回転角 θ を強制変位

として与えた。この場合、
垂直補剛材辺の周方向
変位は自由にならるよう考
慮した。③要素分割は
図3に示すように、
 3×6 とした。

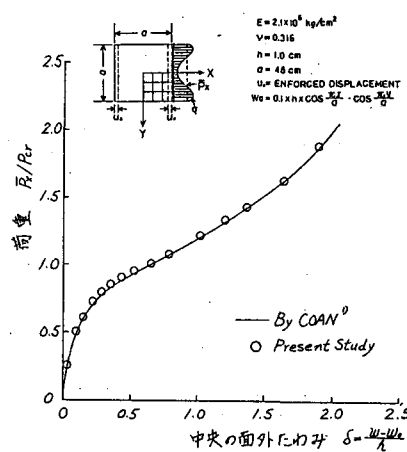


図2. 解析プログラムの精度

Hiroshi NAKAI, Toshiyuki KITADA, Ryoichi OHMINAMI

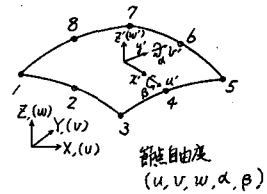


図1. アイソ・パラメトリック・
シェル要素

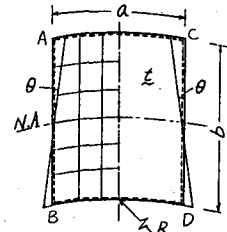


図3. 腹板の解析モデル

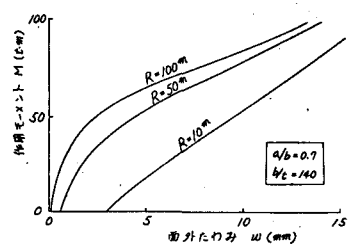


図4. 腹板の面外たわみと荷重の関係

3. 腹板の使用限界と解析結果 本研究では、まえがきで述べたように、腹板の面外にわみに着目し、最大たわみが腹板高さの1/250になるモーメントM₂₅₀を使用限界と定義し解析結果を整理した。解析に際しては、曲率R、幅厚比b/t、及び、アスペクト比a/bをパラメーターとし、実橋で使用される実際的な範囲で変化させた。図4は曲率の異なるモデルに対する荷重と面外にわみの関係を示したものである。表1はパラメーター解析を行ったモデルの諸元と、その解析により得られた使用限界モーメントM₂₅₀に対する曲げ応力度C₂₅₀の結果をまとめたものである。以下、C₂₅₀を平板の曲げ応力度C_{cr}により無次元化した値を無次元パラメーターとして用いる。

図5は各種パラメーターとC₂₅₀/C_{cr}の関係を調べたものである。特に、a/bに関しては、a/b ≈ 1.0でC₂₅₀/C_{cr}が最小となりa/b > 1.0で再び漸増する傾向が見られる。

4. 使用限界に基づく腹板の設計

計算法 設計の便に供するため、 $C_{250}/C_{cr} = f(X)$ なる関係式として

表現できる断面寸法に関する無次元パラメーターXについて検討した。その結果、

$$X = \sqrt{\frac{E}{K}} \left(\frac{a}{b} - 0.44 \right) \quad \text{--- (1)}$$

が適切であることがわかった。このパラメータ-Xを用い、表1のC₂₅₀/C_{cr}をプロットすると図6に示すように、ほぼ1つの曲線に載ることがわかる。ただし、a/bの適用範囲は0.5 ≤ a/b ≤ 1.0とした。この曲線は次式で近似できる。

$$\begin{aligned} C_{250}/C_{cr} &= 1.0 & (X \leq 0.03) \\ &= \frac{1}{100X + 0.9} + 0.166 & (X > 0.03) \end{aligned} \quad \text{--- (2)}$$

次に、現行示方書のb/tに関する規定をC₂₅₀/C_{cr}に適用することを試みた。例えば、SS41材においては、C₂₅₀/C_{cr}=1.0のときb/t=152となるが、以下は、C₂₅₀/C_{cr}が(b/t)²に比例することを利用してC₂₅₀/C_{cr}とb/tの関係を求めた。図6にSS41材とSM50Y材について得られた結果を示す。

以上の結果は、曲線桁橋腹板の使用限界に対する一つの目安となると考えられる。

1) 例えは、土木学会第36回年次学術講演会概要集 I-137 PP. 273-274

2) J.M. COAN, "Large-Deflection Theory for plate with Small Initial Curvature Loaded in Edge Compression", Journal of Applied Mechanics, June 1951, PP. 143-151

表1. 解析モデルの諸元と解析結果

NO.	解析モデルの諸元 (R=4t-a/b)	$w=b/250$ の外力 ¹⁾	曲げ応力度		備考
			M_{250} (t.m)	C_{250} (kg/cm ²)	
1	10-140-0.7	44	1,347	2,314	0.58
2	50-200-0.7	23	1,006	1,134	0.89
3	50-140-0.5	73	2,235	2,314	0.97
4	50-140-0.7	60	1,837	2,314	0.79
5	50-140-1.0	56	1,714	2,314	0.74
6	50-140-1.5	59	1,806	2,314	0.78
7	50-140-2.0	66	2,004	2,314	0.87
8	50-100-0.7	153	3,346	4,536	0.74
9	100-140-0.7	68	2,082	2,314	0.90
10	10-173-0.5	6.3	1,313	1,515	0.87
11	10-173-1.0	4.6	958	1,515	0.63
12	30-173-0.5	7.3	1,510	1,515	1.00
13	30-173-1.0	5.6	1,156	1,515	0.76

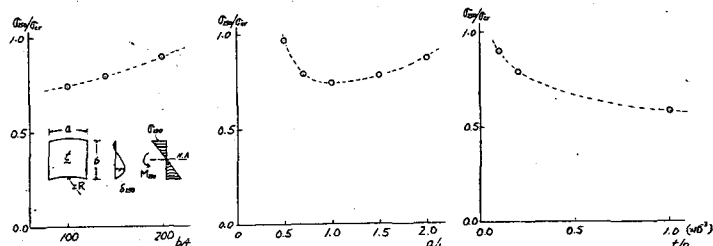


図5. 各種パラメーターとC₂₅₀/C_{cr}の関係

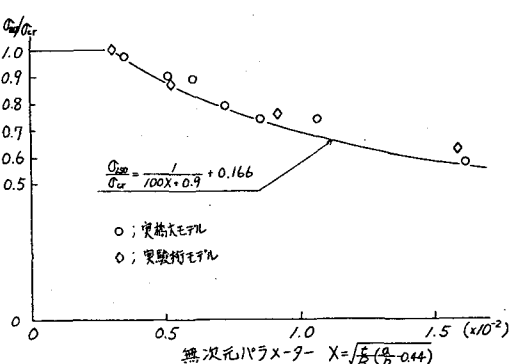


図6. 無次元パラメーターXとC₂₅₀/C_{cr}の関係